

خاستگاه زمین‌ساختی سازند کاهار (نئوپرتوژوویک پسین) با استفاده از داده‌های تجزیه مودال و کانی‌های سنگین ماسه‌سنگ‌ها در برش نمونه، کوه کاهار، البرز مرکزی

نجمه اعتمادسعید^۱، محبوبه حسینی بروزی^۲، محمدحسین آدابی^۳ و عباس صادقی^۴

^۱دانشجوی دکتری، دانشکده علوم‌زمین، دانشگاه شهید بهشتی، تهران، ایران.

^۲استادیار، دانشکده علوم‌زمین، دانشگاه شهید بهشتی، تهران، ایران.

^۳استاد، دانشکده علوم‌زمین، دانشگاه شهید بهشتی، تهران، ایران.

^۴دانشیار، دانشکده علوم‌زمین، دانشگاه شهید بهشتی، تهران، ایران.

تاریخ پذیرش: ۱۳۹۱/۰۵/۳۱ تاریخ دریافت: ۱۳۹۰/۰۴/۰۵

چکیده

این مطالعه روی خاستگاه زمین‌ساختی سازند کاهار با سن نئوپرتوژوویک پسین در شمال ایران، کوه کاهار (مقطع نمونه) متصرک شده است، این سازند دارای اطلاعات ارزشمندی در رابطه با رویدادهای زمین‌ساختی این دوره است. سازند کاهار در این ناحیه، توالی کاهار در این ناحیه، خوب حفظ شده‌ای در حدود ۱۰۰۰ متر از سنگ‌های پیشتر ریزدانه سیلیسی-آواری به همراه مقادیر کمتری ماسه‌سنگ، کنگلوکمرا و دولومیت است. ماسه‌سنگ‌های لیتیک آرکوزی کاهار با بلوغ باقی و ترکیبی پایین، دارای مقادیر فراوانی فلدسپار (پلازیو کلاز و فلدسپار پاتاسیم)، کوارتز و قطعات سنگی آتششانی هستند و میانگین ترکیبی $Qm_{32}F_{40}L_{21}$, $Q_{38}F_{40}L_{22}$, $Q_{39}F_{40}L_{21}$, $Qp_{27}L_{60}Lsm_{15}$, $Qm_{44}P_{33}K_{23}$ را نشان می‌دهند که نشان از جایگاه زمین‌ساختی کمان ماقمایی فرسوده و منشأ تزدیک به حوضه آنها دارد. نوع قطعات لیتیک در این ماسه‌سنگ‌ها نشان‌دهنده چیرگی سنگ‌های منشأ آتششانی آندزیتی و فلسبیک است. تحلیل کانی‌های سنگین (فراوانی کانی‌های ناپایدار و نیمه‌پایدار همچون بیوتیت و پیروکسن) نشان می‌دهد که ماسه‌سنگ‌های کاهار از رخمنوی ایافتن سنگ‌های ماقمایی کمانی منشأ گرفته‌اند. در هر حال، گوناگونی کم مجموعه‌های کانی سنگین در ماسه‌سنگ‌های کاهار نشان‌دهنده منشأ محلی و یکنواخت برای آنها است. با توجه به وجود دو دیدگاه زمین‌ساختی در رابطه با شرایط حاکم بر ایران طی نئوپرتوژوویک پسین (حاشیه غیرفعال کافت و کمان ماقمایی پهنه فروزانش) نتایج این مطالعه با تأیید کمان ماقمایی در روش سازی گذشته ایران‌زمین اهمیت دارد.

کلیدواژه‌ها:

سازند کاهار، نئوپرتوژوویک، خاستگاه زمین‌ساختی، کمان ماقمایی.

*نویسنده مسئول: نجمه اعتمادسعید

E-mail: n_etemad@sbu.ac.ir

۱- مقدمه

۱۳۷۴؛ جهانی و لاسمی، ۱۳۷۵؛ لاسمی، ۱۳۷۹، صبوری و همکاران، ۱۳۸۴؛ قرب و همکاران، ۱۳۸۹ و خاستگاه سنگ‌های سیلیسی-آواری این سازند و به ویژه خاستگاه زمین‌ساختی آنها، مورد توجه کمی قرار گرفته است (Horton et al., 2008). بر پایه مطالعه (Horton et al., 2008) کوه زیرکن‌های تخریبی کاهار در برش چالوس، رسوبات سازند کاهار در ایران همانند بخش‌هایی از شمال آفریقا و خاورمیانه، به عنوان بخشی از یک گوه آواری گستردۀ (Extensive Clastic Wedge)، از کوه‌زایی خاور آفریقا (EAO) منشأ گرفته‌اند. افزون بر توجه کم به خاستگاه آواری‌های کاهار، شاید به دلیل تغییرات گاه شدید پس از رسوب گذاری همانند دگرگونی درجه پایین در آنها، طبیعت زمین‌ساختی ایران نیز در زمان نئوپرتوژوویک پسین روش نیست. بحث‌های زیادی در ارتباط با تکامل زمین‌ساختی ایران در طی نئوپرتوژوویک پسین، انجام گرفته است. در میان پژوهشگران اختلاف باورهایی در رابطه با ماقمایتی‌های مرتبط با کافت و یا کمان و در پی آن شرایط حاشیه غیرفعال و یا فعال قاره‌ای وجود دارد (برای نمونه: Ramezani & Tucker, 2003; Nadimi, 2007؛ آقاباتی، ۱۳۸۳؛ آقاباتی، ۱۳۷۹؛ Saki, 2010؛ Hassanzadeh et al., 2008؛ Horton et al., 2008؛ Saki, 2010 می‌رسد مطالعه خاستگاه زمین‌ساختی سازند کاهار گامی در راستای روش شدن شرایط زمین‌ساخت حاکم بر زمان شکل‌گیری پی‌سنگ رسوبی ایران است. در این مطالعه، ارتباط زمین‌ساخت با ترکیب ماسه‌سنگ‌های سازند کاهار در برش نمونه با استفاده از روش‌های تحلیل مodal و مطالعه کانی‌های سنگین، بررسی شده است. هدف این مطالعه دست‌یابی به خاستگاه زمین‌ساختی ماسه‌سنگ‌ها و در پایان رسیدن به شواهدی از شرایط زمین‌ساختی البرز در دوره پرکامبرین پسین بوده است.

از آنجا که سنگ‌های رسوبی-آواری (Terrigenous Sedimentary Rocks) ممکن است تنها شواهد در دسترس از پوسته فرسایش‌یافته، پوشیده شده و یا دفن شده باشند، اهمیت فراوانی دارند (Condie et al., 2001). ترکیب پایانی این سنگ‌ها، حاصل رویارویی پیچیده متغیرهای مختلف مرتبط با خاستگاه (Provenance) رسوب است. این واژه (خاستگاه) در برگیرنده همه عوامل مرتبط با تولید رسوب است که همگی تحت کنترل مستقیم یا غیر مستقیم زمین‌ساخت قرار دارند. از این رو زمین‌ساخت به عنوان کنترل کننده اولیه ترکیب رسوبات شناخته می‌شود (Busby & Azor, 2012). فنون گوناگونی برای یافتن ارتباط میان زمین‌ساخت و ترکیب ماسه‌سنگ‌ها با استفاده از روش‌های سنگ‌شناسی (Dickinson, 1985; Purevjav & Roser, 2012) و مطالعه کانی‌های سنگین (Zaid, 2012؛ ژئوشیمیابی (McLennan et al., 1993; Jorge et al., 2013)؛ Garzanti & Ando, 2007؛ Meinhold et al., 2011) پیشنهاد شده است، که در این مطالعه از میان آنها روش‌های سنگ‌شناسی، بررسی فراوانی و نوع کانی‌های سنگین مورد استفاده قرار گرفته است.

سازند کاهار (Kahar Formation) با سن نئوپرتوژوویک پسین، نماینده اولین رکوردهای رسوبی در ناحیه البرز (و احتمالاً همه ایران) است (آقاباتی، ۱۳۸۳ و ۲۰۰۸). برش نمونه این سازند در تاقدیس کوه کاهار در جاده چالوس (Dedual, 1967) دارای بیش از یک کیلومتر سنگ‌های تخریبی ریزدانه (Mudrock) با میانلایه‌هایی از ماسه‌سنگ‌های گری و کی و دولومیت‌های متبوله پیشتر استروماتولیتی است. مطالعات پیشین انجام شده روی این سازند پیشتر محدود به بررسی ترکیب، محیط رسوبی و میکروفیل‌ها بوده (برای نمونه: جهانی، ۱۳۷۳؛ واقفی، ۱۳۷۴؛ حمدی،

۴- سنگ‌نگاری و تحلیل مودال

به طور میانگین فراوانی سازندهای اصلی ماسه‌سنگ‌های کاها (جدول ۲) ترکیب $Q_{38}F_{40}L_{22}$ را نشان می‌دهند و بر پایه رده‌بندی (1980) Folk، در گروه لیتیک آرکوزها قرار می‌گیرند (شکل ۴). همچینین، با محاسبه درصد زمینه (ماتریکس) (حدود ۱۰ تا ۲۰ درصد)، بر پایه رده‌بندی (1987) Pettijohn et al.، ماسه‌سنگ‌های مورد مطالعه آرکوزیک آرنایت تا فلدسپاتیک گری و که هستند (شکل ۴).

تشکیل دهنده‌های اصلی این ماسه‌سنگ‌ها، به ترتیب فراوانی ابتدا شامل کانی‌های گروه فلدسپار در دو نوع پلازیوکلازها و فلدسپارهای پتاسیم‌دار (بیشتر ارتوز و کمتر میکروکلین)، با چیرگی پلازیوکلازها هستند (شکل ۳-۳A). ارتوزها در مواردی به سریسیت تبدیل شده‌اند ولی بیشتر پلازیوکلازها سالم و بدون هوازدگی هستند. کوارتز در اکثر نمونه‌ها دومین جزء تشکیل دهنده ماسه‌سنگ‌های کاها است و به دو صورت کوارتز تکبلور و کوارتز چند بلور دیده می‌شود. کوارتزهای تک بلور فراوان‌تر هستند و بیشتر خاموشی موجی خفیف تا خاموشی مستقیم نشان می‌دهند. کوارتزها بیشتر زاویه‌دار هستند. قطعات سنگی آتشفسانی فراوان‌ترین قطعات سنگی ماسه‌سنگ‌های کاها را تشکیل می‌دهند (شکل‌های ۳-۳B، C و D) و بیشتر هوازده و از نوع ریولیتی و آندزیتی با بافت فلزیک و میکرولیتیک هستند. همچنین، سنگ‌نگاری نمونه‌های مورد مطالعه نشان از تلاشی برخی از قطعات سنگی آتشفسانی و تبدیل آنها به زمینه و در برخی موارد پلازیوکلازهای آزاد شده است. دیگر قطعات سنگی رسوی از نوع چرت و تخریبی‌های ریزدانه و نیز قطعات سنگی رسوی-دگرگونی در ترکیب این ماسه‌سنگ‌ها دیده می‌شوند. با توجه به این که سازند کاها در برش کوه کاها آثار کمی از دگرگونی درجه پایین (پایین‌تر از رخساره شیست سبز) را نشان می‌دهد، کانی‌های ورقه‌ای به ویژه مسکوویت به صورت صفحات جهت‌یافته در میان دیگر اجزای تخریبی قابل مشاهده هستند. کانی‌های سنگین کدر (اپک) و شفاف نیز به صورت کمیاب در این ماسه‌سنگ‌ها دیده می‌شوند.

از دید ویژگی‌های بافتی، ماسه‌سنگ‌های کاها، بیشتر ریزدانه تا متوسط‌دانه، با جورشدگی متوسط و دارای دانه‌های زاویه‌دار تا نیمه‌گرد شده با کرویت متوسط هستند (شکل ۳). زمینه (ماتریکس) حدود ۱۰ تا ۲۰ درصد ترکیب این ماسه‌سنگ‌ها را تشکیل می‌دهد. زمینه‌ها بیشتر به صورت دیاژنزی هستند. برای نمونه کلریت‌ها به صورت رشد در جازا در میان دانه‌ها قابل مشاهده هستند (شکل ۳-E). همچنین بخشی از زمینه به صورت محصولات حاصل از متلاشی شدن و هوازدگی دانه‌هایی همانند فلدسپارها و لیتیک‌ها (زمینه دروغین) هستند (شکل ۳-D). با این حال مطالعات سنگ‌نگاری نشان می‌دهد که سهم زمینه تخریبی قابل چشمپوشی به نظر نمی‌آید. ماسه‌سنگ‌ها از دید بلوغ بافتی، نایاب (ایمیجور) تا نیمه بالغ (ساب مچور) و از نظر بلوغ ترکیبی، دارای رسیدگی پایینی هستند (شکل ۳).

نتایج حاصل از نقطه شماری ماسه‌سنگ‌های مورد مطالعه در جدول ۲ نشان داده شده است. با استفاده از نمونه‌های مثالی جدایش خاستگاه (Dickinson, 1985) میانگین ترکیب مودال ماسه‌سنگ‌های کاها $Qt_{39}F_{40}L_{21}$ است ($Qm_{44}P_{33}K_{23}$, $Qm_{32}F_{40}L_{28}$, $Qp_{27}Lvm_{60}Lsm_{13}$) بر این پایه، ماسه‌سنگ‌های گری و که کاها در هر ۴ مثُلث، درون یا در کنار محدوده منشاء کمان ماسگمایی قرار می‌گیرند. ویژگی اصلی ماسه‌های مشتق شده از کمان (Arc Derived Sands) ترکیب فلدسپاتولیتیک تا لیتوfeldسپاتیک با نسبت بالای P/K و Lv/Ls است (Dickinson, 1985; Purevjav & Roser, 2012). پایین آمدن نسبت P/K در ماسه‌سنگ‌های این خاستگاه زمین‌ساختی، به فرسایش ژرف (Deep Dissection) مجموعه‌های کمانی نسبت داده می‌شود. نسبت P/K در ماسه‌سنگ‌های کاها در محدوده ۰/۶۶ تا ۰/۴۸۶ و به طور میانگین ۰/۸۰ نسبت Lv/Ls در محدوده ۰/۳۶ تا ۰/۸ و به طور میانگین ۰/۶۰۴ است که نشان‌دهنده چیرگی پلازیوکلاز بر فلدسپارهای پتاسیم و چیرگی قطعات سنگی آتشفسانی بر

۵- زمین‌شناسی ناحیه

از دید زمین‌شناسی، فلات ایران مشکل از چندین واحد ساختاری است که بر پایه تقسیم‌بندی آقاباتی (۱۳۸۳)، ناحیه مورد مطالعه در شمال پنهان ساختاری ایران مرکزی قرار دارد (شکل ۱). این منطقه همچنین از دید جغرافیایی در البرز مرکزی قرار دارد. برش مورد مطالعه از سازند کاها بر ش نمونه (Type Locality) این سازند حدود ۷۵ کیلومتری شمال تهران (E $5^{\circ}10'45''$, N $5^{\circ}22'36''$) در کوه کاها (معرفی شده توسط Dedual (1967) و بخشی از تاقدیس کاها است. مرز زیرین سازند کاها در این برش رخنمون ندارد و با مرزی گسلی در زیر دولومیت‌های منتبه به سازند سلطانیه قرار می‌گیرد (شکل ۱).

سازند کاها در برش نمونه از حدود ۱۱۰۰ متر گلسنگ (Mudrock) به همراه میان‌لایه‌هایی از کنگلومرا با جورشدگی ضعیف، ماسه‌سنگ و دولومیت بیشتر دارای استروماتولیت‌های با بر جستگی کم (Low-relief Stromatolites) تشکیل شده است. شکل ۲ سوتون چینه‌شناسی سازند کاها در برش مورد مطالعه را نشان می‌دهد. محیط‌های کم ژرافی دریایی، ساحلی و رودخانه‌ای توسط پژوهشگرانی همانند جهانی (۱۳۷۳)، واقعی (۱۳۷۴)، جهانی و لاسمی (۱۳۷۹)، دریایی و روختانکون سنتگ‌هایی کهنه تر از کاها در ناحیه البرز شناسایی نشده‌اند اما سن دقیق نهشت این سازند مشخص نیست. اگرچه، سن توده‌های نفوذ کرده درون این سازند (۵۹۹±42 Ma; Hassanzadeh et al., 2008) سن این سازند را کهنه تر از ۵۰۰ تا ۶۰۰ میلیون سال نشان می‌دهند ولی بر پایه سن سنگی مدل رویدیم - استرانسیم (Crawford, 1977) (Ma 900-560) بر پایه پالینومorf‌ها، استروماتولیت‌ها و جایگاه چینه‌ای آقاباتی، Seger, 1977; Alsharhan & Nairn, 1997) حدمی، ۱۳۷۴؛ صبوری و همکاران، ۱۳۸۴) نیز نسبت داده شده است. روی هم‌رفته، سن‌های گزارش شده در کنار جایگاه چینه‌شناسی این سازند که در مناطقی همانند فیروز آباد چالوس و چقلو زنجان، با مرزی پیوسته در زیر سازند سلطانیه با سن قطعی پر کامبرین بالا-کامبرین زیرین (حمدی، ۱۳۷۴) قرار دارد، نشان می‌دهند که سازند کاها به احتمال بسیار قوی وابسته به پایان پر کامبرین (نپروپرتوزوویک پسین) است.

۶- روش‌ها

طی عملیات‌های صحرایی روی هم‌رفته حدود ۲۰۰ نمونه برداشت شد (ماسه‌سنگ، گلسنگ، کنگلومرا و دولومیت) و پس از تهیه و مطالعه مقاطع نازک و جداسازی گلسنگ‌ها و ماسه‌سنگ‌ها، ۴۰ نمونه ماسه‌سنگی برای مطالعه سنگ‌شناسی با میکروسکوپ پلاریزان انتخاب شدند. سپس ۳۰ تا ۴۰ دانه در ۲۴ دانه در ۴۰ نمونه مناسب از دید اندازه دانه و جورشدگی، با نقطه شمار مکانیکی و با روش گری - دیکینسون (Ingersoll et al., 1984) (Gazzi-Dickinson Method) شمارش شدند. متغیرهای شمارش شده در جدول ۱ و ۲ نشان داده شده است. ۱۱ نمونه ماسه‌سنگی پس از شستشو، خردایش با هاون دستی و جدایش رده استاندارد ماسه‌های خیلی ریز (63-125 μm) (Morton et al. 1996) با الک بر پایه روش (Gazzi-Dickinson Method) در دانشگاه شهید بهشتی و جداسازی توسط سیال سنگین (بروموفورم)، جداسازی مغناطیسی و شناسایی کانی‌های سنگین در سازمان زمین‌شناسی کشور، تفسیر شدند. نتایج حاصل در جدول ۳ ارائه شده است.

(جدول ۴). کاهش میزان کانی سنگین پیروکسن به سمت بالای برش مورد مطالعه را می‌توان به فرایند فرسایش کمان نسبت داد (شکل ۶).

۶- بحث

بر پایه مطالعات انجام شده در سال‌های گذشته، پژوهشگران درباره یکپارچه بودن البرز، ایران مرکزی و زاگرس-عربی (به غیر از کپه‌داغ) از پرکامبرین پسین تا تریاس میانی هم نظر بوده و بر این باورند که پی‌سنگ بلورین پرکامبرین ایران در همه این نواحی وابستگی گندوانایی (Gondwana Affinity) (نشان می‌دهد 1968; Stocklin; Ramezani & Tucker, 2003; Horton et al., 2008; Hassanzadeh et al., 2008; Saki, 2010)، ولی هنوز شرایط زمین‌ساختی حاکم بر این زمین‌ها در نوپرتوژوییک پسین (Late Neoproterozoic) مورد بحث است.

سازند کاهار به طور چهار متشکل از سیلیسی-آواری‌هایی است که بنا به شواهد سنی موجود، طی نوپرتوژوییک پسین در ناحیه البرز نهشته شده‌اند. استفاده از روش‌های کلاسیک در تعیین خاستگاه زمین‌ساختی این ماسه‌سنگ‌ها (تحلیل مودال)، نشان‌دهنده رخساره فلدسپاتولیتیک (با چیرگی فلدسپارهای پلاژیوکلاز و قطعات سنگی آتشفشاری)، و خاستگاه زمین‌ساختی کمان‌ماگمایی برای آنها است. این رسوبات از منشأهای آتشفشاری (volcanic sources) مشتق و احتمالاً در حوضه‌های مرتبط با کمان نهشته شده‌اند. وجود کانی‌های سنگین ناپایدار پیروکسن (در قاعده سازند) به همراه بیوتیت و همین‌طور پایین بودن میزان کانی‌های سنگین فراپایدار نیز وابستگی این ماسه‌سنگ‌ها به حوضه‌های کمان ماگمایی را نشان می‌دهد. در ماسه‌سنگ‌های فلدسپاتولیتیک مربوط به کمان‌های ماگمایی، مقدار کانی‌های سنگین پایدار کم و کانی‌های سنگین ناپایدار و نیمه‌پایدار همانند پیروکسن و بیوتیت بیشترین فراوانی را دارند (Garzanti & Ando, 2007; Lundberg, 1991). بیشترین فراوانی گزارش شده از میزان پیروکسن در ماسه‌سنگ‌های مرتبط با کمان‌های ماگمایی در مطالعه (2007) Garzanti & Ando به بیش از ۹۰ درصد نیز می‌رسد. با این فرض که هر کدام از سنگ‌های منشأ مهم و شناخته شده (برای نمونه، سنگ‌های آذرین اسیدی و بازی، سنگ‌های دگرگونی مجاورتی و دیناموترمال، پگماتیت‌ها و گرانیت‌ها) و نیز رسوبات مربوط به چرخه دوباره، دارای مجموعه مشخصی کانی سنگین در ترکیب ماسه‌سنگ‌ها، در رابطه با منشأ آنها بیان دیدگاه کرد کانی‌های سنگین در ترکیب ماسه‌سنگ‌ها، در نیز رسوبات مربوط به چرخه دوباره، دارای آتشفشاری در این ماسه‌سنگ‌ها، نشان می‌دهد که اجزای تخریبی کاهار بیشتر مربوط به چرخه اول بوده و شرایط چرخه دوباره رسوبی، شیوه‌شنوی شدید شیمیایی یا سایش شدید مکانیکی را تحمل نکرده‌اند.

چیرگی کانی‌های سنگین ناپایدار (همانند بیوتیت و پیروکسن) نسبت به انواع فراپایدار و مقدار پایین اندیس ZTR هم تأییدی بر طبیعت نایاب ماسه‌سنگ‌های کاهار است که با ترتیج سنگ‌شناسی نیز همخوانی دارد. هرچند میزان کانی‌های سنگین ناپایدار نیز از نظر کمی فراوانی پایینی در ماسه‌سنگ‌های مورد مطالعه دارد (احتمالاً به دلیل عملکرد رویدادهای پس از رسوب گذاری که حتی سبب بالا رفتن میزان کانی‌های سنگین کدر شده است)، اما نکته قابل توجه این است که در هر حال این کانی‌ها فراوانی خیلی بیشتری نسبت به کانی‌های فراپایدار (Ultradistalable) اندیسین، آناتاز و روئیل در همان نمونه‌ها دارند.

قطعات سنگی رسوبی و کاملاً هماهنگ با خاستگاه کمان ماگمایی است. به طور معمول، قطعات مشتق شده از کمان ماگمایی در حوضه‌های مرتبط با پهنه فروزانش نهشته شده و منشأ قطعات در این جایگاه‌های زمین‌ساختی کمرندهای آتشفشاری و آتشفشاری-نفوذی (ولکانوپلیوتونیک) شکل گرفته در پهنه‌های فروزانش هستند (Busby and Azor, 2012).

۵- کانی‌های سنگین

تمرکز کانی‌های سنگین (Garzanti & Ando, 2007) در ماسه‌سنگ‌های کاهار، به طور میانگین ۱ درصد است (جدول ۳). به جز یک نمونه (KN3-15) با میزان تقريباً برابر کانی‌های سنگین کدر و شفاف، در دیگر نمونه‌ها کانی‌های سنگین کدر به میزان قابل ملاحظه‌ای فراوان‌تر از کانی‌های سنگین شفاف هستند. به طور میانگین کانی‌های سنگین کدر ۴۸ درصد، کانی‌های سنگین موجود در این درصد و کانی‌های سنگین شفاف ۷ درصد کل کانی‌های سنگین موجود در این ماسه‌سنگ‌ها را تشکیل می‌دهند (شکل ۶ و جدول ۴). پیریت و هماتیت (به همراه اولیشیست) فراوان‌ترین کانی‌های کدر و به ترتیب فراوانی، گروه میکاها (بیوتیت، مسکوکویت و کلریت)، پیروکسن (به ویژه در بخش‌های قاعده‌ای سازند)، زیرکن (در بخش‌های میانی سازند) و به میزان بسیار کم آندالوزیت و آمفیبول‌ها کانی‌های شفاف را تشکیل می‌دهند.

به طور کلی فراوانی کانی‌های سنگین در ماسه‌سنگ‌ها کم (حدود ۱ درصد) است، ولی همین مقدار نیز در ماسه‌سنگ‌های کهن نسبت به ماسه‌سنگ‌های عهد حاضر کمتر است چرا که کانی‌های سنگین به صورت انتخابی در اثر هوازدگی شیمیایی، Morton & Hallsworth, 2009. بنا بر این انتظار می‌رود که ماسه‌سنگ‌های کهن از کانی‌های سنگین بسیار مقاوم غنی باشند (Boggs, 2009). با این حال، در ماسه‌سنگ‌های کاهار، کانی‌های سنگین فراپایدار (زیرکن، روئیل، تورمالین و آناتاز) مقدار بالای را نشان نمی‌دهند. به غیر از زیرکن، ماسه‌سنگ‌ها بدون تورمالین یا آناتاز هستند و روئیل فراوانی بسیار کمی دارد. در مقابل، کانی‌های ناپایدار و نیمه‌پایدار (Metastable-unstable) شفاف، فراوانی بیشتری را نشان می‌دهند. اندیس ZTR (Zircon-Tourmaline-Rutile; Hubert, 1962) که حاصل مجموع کانی‌های زیرکن، تورمالین و روئیل و نیمازینه بلوغ کانی‌شناسی مجموعه کانی‌های سنگین در ماسه‌سنگ‌های است، در نمونه‌های مورد مطالعه میانگین ۲۹ درصد دارد که مقدار کمی است. در ماسه‌سنگ‌های بالغ کوارتزی، اندیس ZTR بالای ۹۰ درصد است (Hubert, 1962; Okeyode & Jibiri, 2012).

مطالعات گسترده‌ای به منظور روشن کردن انواع کانی‌های سنگین در خاستگاه‌های زمین‌ساختی تعریف شده توسعه (1985) Dickinson انجام شده است (Garzanti & Ando, 2007). این مطالعات افزون بر تعریف اندیس‌هایی همانند اندیس تمرکز کانی‌های سنگین (HMC)، کانی‌های شفاف (Transparent)، کانی‌های کدر (Turbid)، کانی‌های مات (Opaque) و نیز استفاده از اندیس‌هایی همانند کانی‌های فراپایدار (ZTR)، کانی‌های تیتانیم + دیگر کانی‌ها (T&H)، کانی‌های دگرگونی با درجه پایین (LgM)، گارنٹ (Gt)، کانی‌های دگرگونی با درجه بالا (HgM) و ... به بررسی فراوانی انواع کانی‌های سنگین در محیط‌های مختلف زمین‌ساختی عهد حاضر پرداخته‌اند. میزان اندیس‌های بالا در ماسه‌سنگ‌های مورد مطالعه و مقایسه آنها با خاستگاه‌های زمین‌ساختی مختلف، در جدول ۴ نشان داده شده است. بالا بودن میزان پیروکسن به ویژه در قاعده و کانی بیوتیت در کل سازند کاهار (شکل ۶) و محاسبه اندیس‌های مورد استفاده در مطالعه کانی‌های سنگین در ماسه‌سنگ‌های مورد مطالعه، نشان می‌دهد که این ماسه‌سنگ‌ها نزدیکی بیشتری به جایگاه‌های زمین‌ساختی کمان‌های ماگمایی نسبت به دیگر جایگاه‌های زمین‌ساختی، نشان می‌دهند

این رخساره گسترده به رخساره تاشک (Tashk Facies) مشهور است و همه جا مشتمل از سری ستبری از سیلیسی - آواری‌های ریزدانه و ماسه‌سنگ‌های آرکوزی نایاب با میان‌لایه‌هایی از توف است. مطالعه Ramezani & Tucker (2003) در ناحیه ساغند، محیط نهشت سازند تاشک را در تکار مرکز فوران بازالت و یا آذرآواری مرتبط با جایگاه زمین‌ساختی کمان ماجمایی، معروفی کرد. نتایج مطالعه پیش رو، بر روی خاستگاه زمین‌ساختی سازند کاها نیز وابستگی نزدیک این سازند با خاستگاه کمان ماجمایی را نشان می‌دهد. این نتایج نشان‌دهنده شرایط مرتبط با زمین‌ساخت با فرورانش در این دوره زمانی (End Neoproterozoic Time) در ایران است.

۷- نتیجه‌گیری

- بلوغ بافتی و ترکیبی پایین ماسه‌سنگ‌های کاها نشان‌دهنده مسافت حمل کوتاه برای رسوبات تشکیل‌دهنده آنها است.
- چیرگی کانی‌های سنگین نایابدار (همانند بیوتیت و پیروکسن) نسبت به انواع فرایابیدار (همانند تورمالین و روتیل) و نیز مقادیر پایین اندیس ZTR در ماسه‌سنگ‌های کاها را تأییدی بر طیعت نایاب و میزان کم حمل در آنهاست.
- نتایج تحلیل مودال روى ماسه‌سنگ‌های کاها نشان‌دهنده وابستگی آنها به خاستگاه زمین‌ساختی کمان‌های ماجمایی است.
- وجود کانی‌های سنگین نایابدار همانند پیروکسن (به طور چیره در قاعده سازند) و بیوتیت نیز جایگاه زمین‌ساختی مرتبط با فرورانش را تأیید می‌کند.
- منشأ ماسه‌سنگ‌های بالا مربوط به سنگ‌های آتشفشاری فلیسیک (Felsic) و آندازیتی کمان‌های ماجمایی است. این رسوبات به احتمال زیاد در حوضه‌های مرتبط با پهنه فرورانش نهشته شده‌اند.

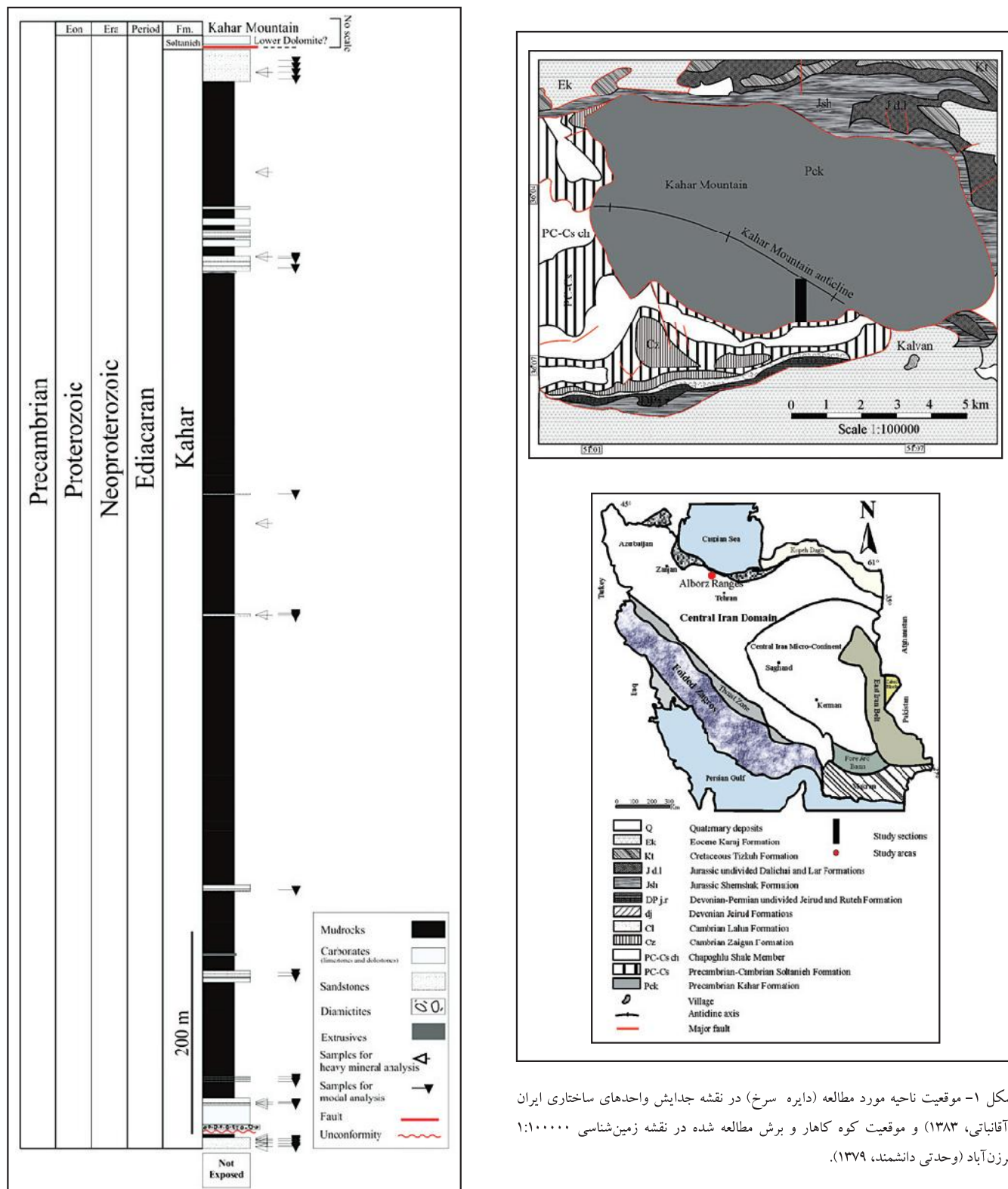
سپاسگزاری

کمک‌های فراوان جناب آقای دکتر هوشمندزاده در معرفی سازند کاها برای بررسی خاستگاهی، راهنمایی‌ها و پیشنهادات ارزنده در طول مطالعه و نیز بازخوانی متن اولیه این مقاله، شایان تقدیر است. از مشولان و کارشناس‌های آزمایشگاه‌های دانشکده علوم‌زمین دانشگاه شهید بهشتی، برای فراهم آوردن امکانات مناسب آزمایشگاهی برای مطالعات استفاده شده در این مقاله سپاسگزاری می‌شود. همچنین، از مهدی اعتمادسعید، نرگس سرداری و مهدی شادان برای کمک‌های فراوانشان در عملیات‌های صحراوی در کوه کاها، سپاسگزاری می‌شود.

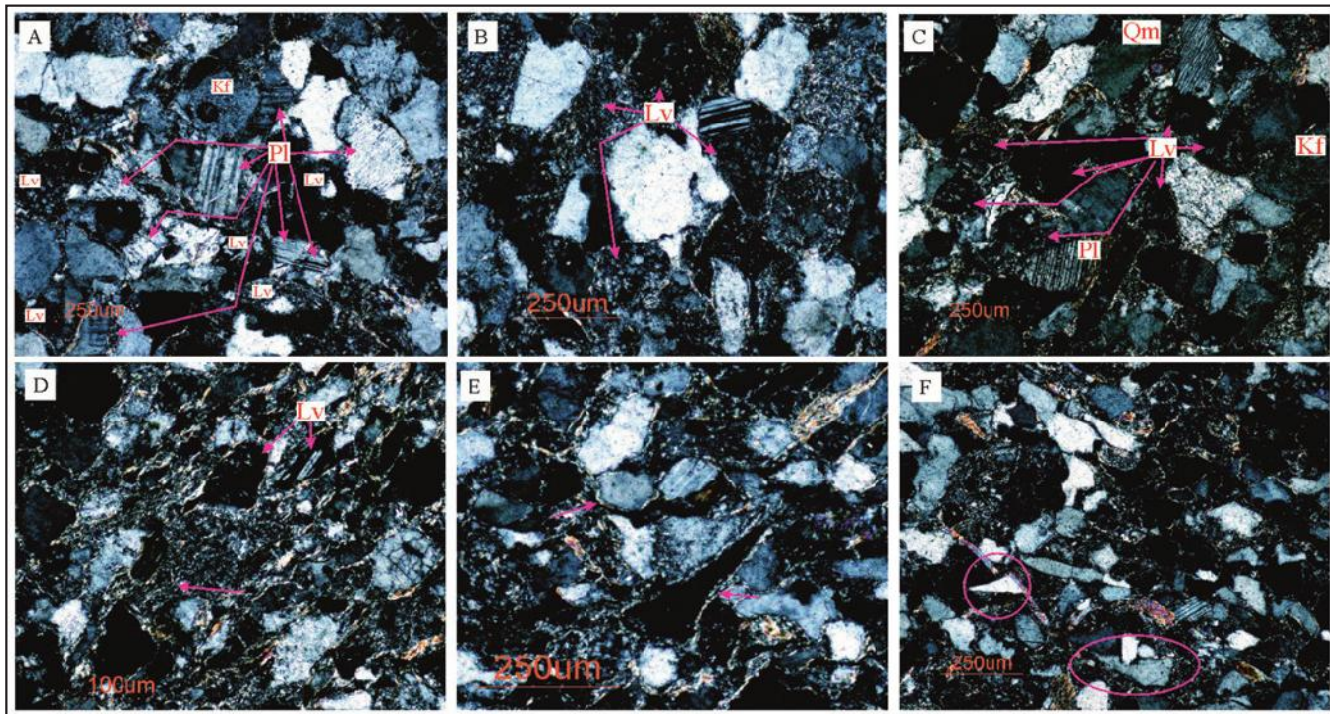
این نتایج نشان می‌دهند که رسوبات کاها در ناحیه‌ای خیلی نزدیک به منشاء سیلیسی - آواری‌ها نهشته شده‌اند که منشأ گرفتن کامل رسوبات این ماسه‌سنگ‌ها از کوهزایی خاور آفریقا (Horton et al., 2008) را مورد تردید قرار می‌دهد. در مدل زمین‌ساختی متدوال ارائه شده برای پرکامبرین پسین - کامبرین زیرین ایران، وجود رخساره‌های آواری کم‌زرفا، سری‌های تبخیری - آتشفشاری اینفراکامبرین (ریزو، دسو، راور و هرمز) و ترکیب قلایی (Alkaline) سنگ‌های آتشفشاری پرکامبرین، به کشش‌های درون قاره‌ای در پوسته کراتونی ایران در این زمان نسبت داده شده‌اند (برای نمونه: لاسمی، ۱۳۷۹؛ آقاباتی، ۱۳۸۳؛ Stocklin, 1968؛ Falcon, 1974؛ Berberian & King, 1981؛ Husseini, 1989؛ Talbot & Alavi, 1996). این رویدادهای زمین‌ساختی به فازهای کششی رخداد کاتانگایی یا پان‌آفریکن مرتبط می‌شوند (آقاباتی، ۱۳۸۳). لاسمی (۱۳۷۹) به طور مشخص بخش‌های زیرین سازند کاها در البرز را به نهشته‌های پیش از کافت و بخش‌های میانی و بالای آن را به نهشته‌های همزمان با کافت نسبت می‌دهد.

در مدل دیگر ارائه شده برای توالی‌های پرکامبرین پسین - کامبرین آغازین ایران که بیشتر بر پایه داده‌های ژئوشیمی و سنتجی استوار است، بررسی ترکیب و سن پی‌سنگ بلورین ایران نشان‌دهنده ماقماتیسم گسترده مرتبط با فرورانش (Subduction-related Magmatism) در پایان پرکامبرین است (Ramezani & Tucker, 2003؛ Nadimi, 2007؛ Horton et al., 2008) (Hassanzadeh et al., 2008؛ Saki, 2010). در این مدل، نهشته‌های تبخیری گسترده و پیوسته نپروتروزوویک پسین - کامبرین زیرین نیز به محیط‌های پشت کمانی کششی نسبت داده شده است (Ramezani & Tucker, 2003). در این مدل، بلوک‌های ایران همانند زمین‌های کمانی (Arc Terranes) آوالونیا (Cadomia ; 616-540 Ma) و کادومیا (Avalonai ; 640-540 Ma) از زمین‌های حاشیه‌ای گندوانا (Peri-Gondwanan Terranes) بوده‌اند که در طول حاشیه قاره‌ای فعال (Andean-type) گندوانا قرار داشته‌اند.

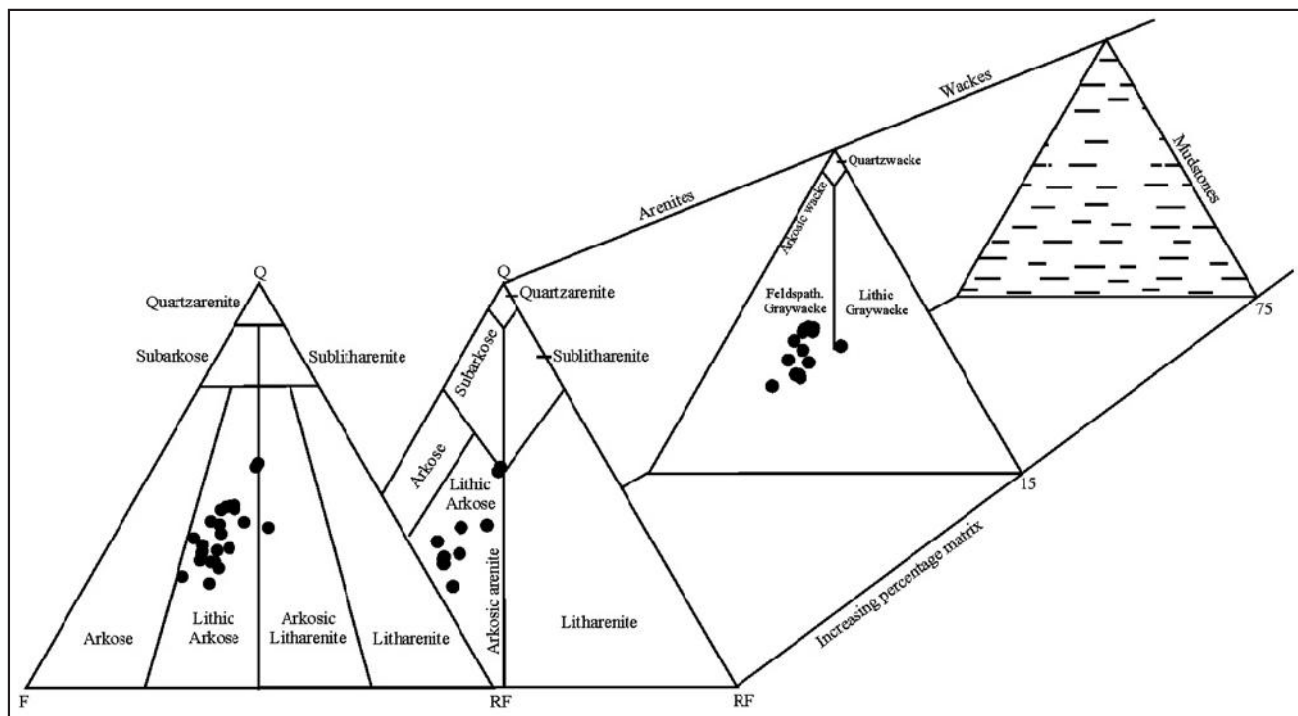
مطالعه خاستگاه زمین‌ساختی ماسه‌سنگ‌های کاها با استفاده از روش‌های تجزیه مودال و مطالعه کانی‌های سنگین، با نشان دادن شرایط زمین‌ساختی مرتبط با کمان‌های ماجمایی، با نظریه دوم همخوانی نشان می‌دهد. البته بحث و نتیجه‌گیری در مورد کاها به محدوده گسترده‌تری از رخساره گری و کی (در سازند کاها فلدسپاتیک گری و ک) احتمالاً همزمان با کاها کشیده می‌شود که در پایان نپروتروزوویک به طور گسترده در سرتاسر ایران نهشته شده، رخنمون‌های آنها در مناطق مختلف گاه اسامی متفاوتی همچون کاها، تاشک، تکار و ... را به خود گرفته و یا در مناطقی در زیر رسوبات جوان تر پوشیده شده و رخنمون نیافته‌اند.



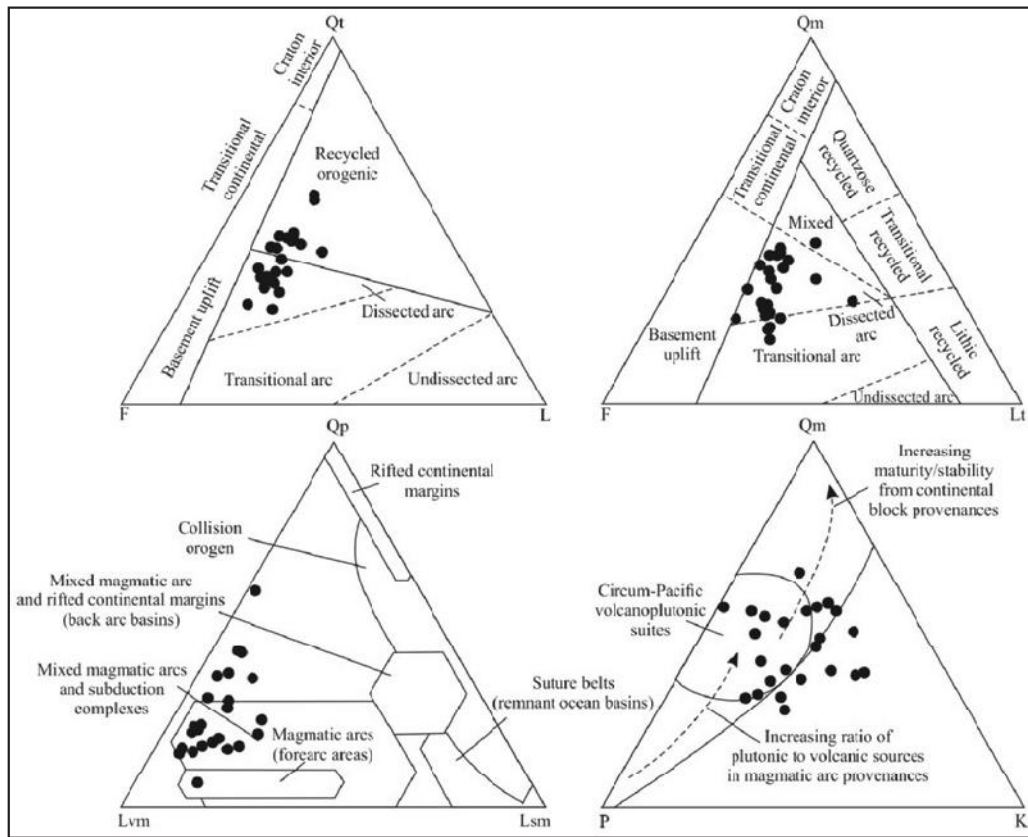
شکل ۲- ستون چینه‌شناسی سازند کاهار در برش کوه کاهار. نمونه‌های انتخاب شده ماسه‌سنگی برای انجام تحلیل مودال و کانی سنگین روی ستون علامت زده شده‌اند.



شکل ۳- تصاویر میکروسکوپ پلاریزان از ماسه‌سنگ‌های کاها. فراوانی کانی‌های پلاژیوکلاز (Lv) در این تصاویر آشکار است. در تصویر ۳-D زمینه‌های دروغین دیاپزی و در تصویر ۳-E در جازایی کانی کلریت مشخص است. تصویر ۳-F زاویدار بودن چیره دانه‌های تک‌بلور کوارتز را نشان می‌دهد.



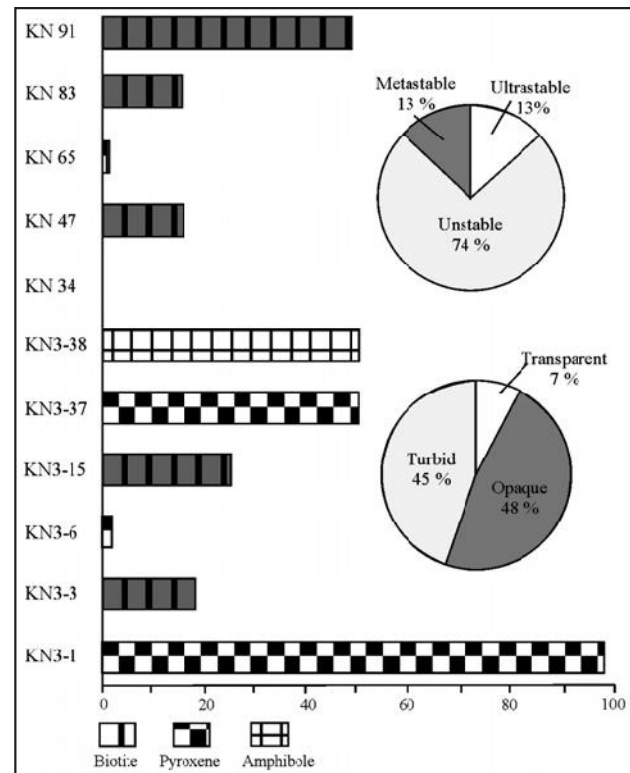
شکل ۴- ترکیب سنگ‌شناسی ماسه‌سنگی کاها با استفاده از ردیبدی (1978) و (1980) .Pettijohn et al.



شکل ۵- نتایج تحلیل مودال در ماسه‌سنگ‌های کاهار روی نمودارهای جدا کننده خاستگاه (Dickinson (1985)

جدول ۱- متغیرهای شمارش شده در ماسه‌سنگ‌های مورد مطالعه (Dickinson, 1985)

Symbol	Definition
Point-counting categories	
Qm	Monocrystalline quartz (>0.625 mm)
Qpq	Polycrystalline quartz (not including chert)
Cht	Chert
P	Plagioclase feldspar
K	K-feldspar
Lv	Volcanic lithic fragment
Ls	Sedimentary lithic fragment
Lms	Metamorphic lithic fragment
Recalculated parameters	
Qp	Polycrystalline quartz including chert
Qt	Total quartzose grains (Qm+Qp)
F	Total feldspar grains (P+K)
L	Total unstable lithic fragments (Lv+Ls+Lms)
Lt	Total lithic fragments (L+Qp)
Lvm	Total volcanic lithic grains
Lsm	Total sedimentary lithic grains



شکل ۶- پراکندگی و فراوانی کانی‌های سنگین و کانی‌های سنگین ناپایدار پیروکسن، آمفیبول و بیوتیت در برش مورد مطالعه.

جدول ۲- داده‌های حاصل از نقطه‌شماری ۳۰۰ تا ۴۰۰ دانه در ماسه‌سنگ‌های کاهاار.

Sample No	Qm	Qpq	KF	Plg	Cht	LS	Lsm	Lv	Acc	Cem	Matrix	SUM	Qt	L	Qp	Lt
K N3 1	106	11	26	90	9	9	1	42	17	11	48	370	126	52	20	72
K N3 2	111	7	25	76	7	6	0	40	10	5	62	349	125	46	14	60
K N3 3	103	4	15	73	8	14	0	46	16	11	48	338	115	60	12	72
K N3 6	54	27	33	92	3	13	0	40	15	50	41	368	84	53	30	83
K N3 11	76	3	32	81	1	9	0	40	5	96	0	343	80	49	4	53
K N3 37	105	6	47	36	5	9	0	40	16	16	54	334	116	49	11	60
K N3 38	98	23	21	33	3	5	0	40	15	59	0	297	124	45	26	71
K N3 45	66	62	1	53	5	5	0	40	0	46	7	285	133	45	67	112
K N 1	60	26	49	61	6	8	0	46	27	33	32	348	92	54	32	86
K N 3	88	17	29	56	3	5	0	40	28	4	62	332	108	45	20	65
K N 10	45	19	49	74	2	10	10	44	11	41	49	354	66	64	21	85
K N 12	76	11	39	26	6	19	1	45	19	52	71	365	93	65	17	82
K N 18	84	8	50	47	4	7	3	40	21	15	58	337	96	50	12	62
K N 33	67	20	78	36	1	6	3	40	17	31	84	383	88	49	21	70
K N 34	59	9	67	37	3	6	9	42	3	35	65	335	71	57	12	69
K N 35	105	7	75	37	6	5	0	40	1	10	67	353	118	45	13	58
K N 52	56	29	37	86	7	8	0	40	6	67	6	342	92	48	36	84
K N 61	64	9	59	47	5	6	0	47	9	49	72	367	78	53	14	67
K N 64b	70	34	44	88	2	7	0	40	6	23	5	319	106	47	36	83
K N 65	65	9	56	92	2	8	0	43	32	34	62	403	76	51	11	62
K N 90	71	7	45	72	8	7	0	47	36	24	60	377	86	54	15	69
K N 91	79	6	50	50	6	6	0	53	17	19	58	344	91	59	12	71
K N 92	118	6	49	48	5	8	0	50	5	18	63	370	129	58	11	69
K N 93	98	9	38	46	0	5	0	44	13	20	63	336	107	49	9	58

جدول ۳- داده‌های حاصل از تجزیه کانی‌های سنگین ماسه‌سنگ‌های کاهاار.

Mineral Group	Mean	Standard deviation	Range
Hematite	9.41	18.94	0-50
Limonite	0.09	0.19	0-0.5
Pyrite	17.63	31.65	0.01-82.27
Magnetite	0.012	0.006	0.01-0.02
Leucoxene	0.001	0.004	0-0.01
Oligist	3.27	6.31	0-21
Zircon	0.28	0.64	0-2
Rutile	0.004	0.005	0-0.01
Biotite	0.05	0.14	0-0.5
Muscovite	0.13	0.21	0-0.51
Chlorite	0.05	0.14	0-0.5
Pyroxene Group	1.59	5.28	0-17.52
Amphibole Group	0.001	0.004	0-0.01
Epidote Group	0.0009	0.003	0-0.01
Barite	0.0009	0.003	0-0.01
Andalusite	0.04	0.15	0-0.5
Marcasite	0.0009	0.003	0-0.01
ZTR%	29	0.64	0-2.01
HMC%	1	0.57	0.33-2

جدول ۴- مقایسه نتایج به دست آمده از تجزیه کانی های سنگین در ماسه سنگ های سازند کاهار و اصلی ترین خاستگاه های زمین ساختی عهد حاضر (Garzanti & Ando, 2007). اندیس های محاسبه شده عبارتند از: HMC: اندیس درصد تمرکز کانی های سنگین؛ $\%t_{HM}$: اندیس درصد کانی های شفاف؛ $\%op_{HM}$: اندیس درصد کانی های کدر؛ $\%tu_{HM}$: اندیس درصد کانی های مات؛ ZTR: اندیس مجموع کانی های تباشی و دیگر کانی های درجه پایین؛ LgM: اندیس کانی های دگرگونی درجه پایین؛ Gt: اندیس گارنت؛ HgM: اندیس کانی های دگرگونی درجه بالا؛ A(Hb+&A): اندیس مجموع هورنبلد و دیگر آمفیبول ها؛ PX(CPX+OPX): اندیس مجموع کلینوپیر و کسن و اورتوپیر و کسن؛ OS: اندیس مجموع اولیوین و اسپینل.

	HMC	$\%t_{HM}$	$\%op_{HM}$	$\%tu_{HM}$	ZTR	T&	LgM	Gt	HgM	A (Hb+&A)	PX(CPX+OPX)	OS
Kahar	1	7	48	45	0.29	0.0009	0.0009	0	0.04	0-0.01	0-17.52	0
Rift shoulder provenance (Gulf of Aden)	1	52	39	9	24	1	27	15	1	25	6	1
Cratonic provenance (Arabia)	0.9	69	18	13	7	0	49	15	1	19	7	1
Magmatic arc provenance (Parece Vela)	n.d.	n.d.	25	n.d.	0	0	2	0	0	3	95	0

کتابخانه

- آقاباتی، ع.، ۱۳۸۳- زمین شناسی ایران، سازمان زمین شناسی و اکتشافات معدنی کشور، ۵۸۶ ص.
- جهانی، د. و لاسمی، ی.، ۱۳۷۵- رخساره ها و محیط های رسوبی سازند کهر (پر کامبرین بالای) در منطقه سریندان دماوند، اولین کنگره زمین شناسی دانشگاه های ایران، خلاصه مقالات، ۶۷-۶۸ ص.
- جهانی، د.، ۱۳۷۳- مطالعه و بررسی رخساره ها و محیط های رسوبی سازند کهر (پر کامبرین پسین) در مناطق سریندان دماوند و شهمیرزاد سمنان، پایان نامه کارشناسی ارشد، گروه زمین شناسی، دانشگاه آزاد اسلامی واحد تهران شمال، ۱۶۶ ص.
- حمدی، ب.، ۱۳۷۴- سنگ های رسوبی پر کامبرین، کامبرین در ایران، سازمان زمین شناسی کشور، طرح تدوین کتاب زمین شناسی ایران، شماره ۲۰، ۳۵۳ ص.
- صبوری، ج.، فراهانی، ب. و نریمانی، ح.، ۱۳۸۴- مطالعه زیست چینه ای و تعیین سن سازند کهر در البرز مرکزی (برش فیروزآباد چالوس)، چهاردهمین گردهمایی علوم زمین.
- قربی، ف.، لاسمی، ی. و امامی، م.، ۱۳۸۹- سنگ شناسی و محیط رسوبی سازند کهر در نواحی فیروزآباد و شاهین دژ (البرز مرکزی و باختری)، فصلنامه علوم زمین شماره ۷۷، ۱۰۹-۱۱۴ ص.
- لامسی، ی.، ۱۳۷۹- رخساره ها، محیط های رسوبی و چینه نگاری سکانسی نهشته سنگ های پر کامبرین بالای و پالزوویک ایران، سازمان زمین شناسی کشور، طرح تدوین کتاب زمین شناسی ایران، شماره ۷۸، ۱۸۰ ص.
- واشقی، ب.، ۱۳۷۴- تحقیق سنگ شناسی و رسوب شناسی سازند کهر پر کامبرین در البرز مرکزی فیروزآباد مازندران، پایان نامه دکتری، دانشگاه آزاد اسلامی واحد علوم و تحقیقات، تهران، ۱۷۸ ص.
- وحدتی دانشمند، ف.، ۱۳۷۹- نقشه زمین شناسی مرزن آباد، ۱:۱۰۰۰۰۰، سازمان زمین شناسی و اکتشافات معدنی کشور، ۶۲۶۲.

References

- Alsharhan, A. S. & Nairn, A. E. M., 1997- Sedimentary Basins and Petroleum Geology of the Middle East. Elsevier, Amsterdam. 811 pp.
- Berberian, M. & King, G. C. P., 1981- Towards a paleogeography and tectonic evolution of Iran. Canadian Journal of Earth Sciences 18, 210-265.
- Boggs, Jr. S., 2009- Petrology of Sedimentary Rocks. Cambridge University Press, 600 pp.
- Busby, C. J. & Azor, A., 2012- Tectonic of Sedimentary Basins (Eds.). Wiley-Blackwell, 647 pp.
- Condie, K. C., Lee, D. & Lang Farmer, G., 2001- Tectonic setting and provenance of the Neoproterozoic Unita Mountain and Big Cottonwood groups, northern Utah: constraints from geochemistry, Nd isotopes and detrital modes. Sedimentary Geology 141-142, 443-464.
- Crawford, A. R., 1977- A summary of isotopic age data for Iran, Pakistan and India. Memoire hors serie n°8. Societe geologique de France, 251-260.
- Dedual, E., 1967- Zur geologie des mittleren und unteren Karaj – Tales, Zentral Elburz (Iran). Mitt. Geol. Inst. E.T.H.U. Univ. Zurich, 76, 125 pp.
- Dickinson, W. R., 1985- Interpreting provenance relation from detrital modes of sandstones, in: Zuffa, G.G. (Eds.), Provenance of Arenites Reidel, Dordrecht, pp. 333-363.

- Falcon, N. L., 1974- Southern Iran: Zagros Mountains, in: Spencer, A. M. (Eds.), Mesozoic–Cenozoic orogenic belts, Data for orogenic studies 4. Geological Society of London Special Publication, 199–211.
- Folk, R. L., 1980- Petrology of Sedimentary Rocks. Hemphill Publishing Co., Austin, Texas, U.S.A, 182 pp.
- Garzanti, E. & Andò, S., 2007- Plate tectonics and heavy-mineral suites of modern sands, in: Mange, M., Wright, D. (Eds.), Heavy Minerals in Use, Elsevier, Amsterdam: Developments in Sedimentology Series 58, 741–763.
- Hassanzadeh, J., Stockli, D. F., Horton, B. K., Axen, G. J., Stockli, L. D., Grove, M., Schmitt, A. K. & Walker, J. D., 2008- U-Pb zircon geochronology of late Neoproterozoic–Early Cambrian granitoids in Iran: Implications for paleogeography, magmatism, and exhumation history of Iranian basement. Tectonophysics 451, 71–96.
- Horton, B. K., Hassanzadeh, J., Stockli, D. F., Axen, G. J., Gillis, R. J., Guest, B., Amini, A. H., Fakhari, M., Zamanzadeh, S. M. & Grove, M., 2008- Detrital zircon provenance of Neoproterozoic to Cenozoic deposits in Iran: Implications for chronostratigraphy and collisional tectonics. Tectonophysics 451, 97–122.
- Hubert, J. F., 1962- A zircon-tourmaline-rutile maturity index and the interdependence of the composition of heavy minerals assemblages with the gross composition and texture of sediments. Journal of Sedimentary Petrology 32, 440–450.
- Husseini, M. I., 1989- Tectonic and deposition model of Late Precambrian–Cambrian Arabian and adjoining plates. American Association of Petroleum Geologists Bulletin 73, 1117–1131.
- Ingersoll, R.V., Bullard, T. F., Ford, R. L., Grimm, J. P., Pickle, J. D. & Sares, S. W., 1984- The effect of grain size on detrital modes: a test of the Gazzi-Dickinson point-counting method. Journal of Sedimentary Petrology 54, 103–116.
- Jorge, R. C. G. S., Fernandes, P., Rodrigues, B., Pereira, Z. & Oliveira, J. T., 2013- Geochemistry and provenance of the Carboniferous Baixo Alentejo Flysch Group, South Portuguese Zone. Sedimentary Geology. Article in press.
- Kimura, H., Matsumoto, R. & Kakuwa, R., 1997- The Vendian–Cambrian $\delta^{13}\text{C}$ record, north Iran: evidence for overturning of the ocean before the Cambrian explosion. Earth and Planetary Science Letters 147, E1–E7.
- Lundberg, N., 1991- Detrital record of the early Central American magmatic arc: petrography of intraoceanic forearc sandstones, Nicoya Peninsula, Costa Rica. Geological Society of American Bulletin 103, 905–915.
- McLennan, S. M., Hemming, S., McDaniel, D. K. & Hanson, G. N., 1993- Geochemical approaches to sedimentation, provenance and tectonics, in: Johnsson, M. J., Basu, A., (Eds.), Processes controlling the composition of clastic sediments, Geological Society of America, Special Papers. 284, 21–40.
- Meinholt, G., Morton, A. C., Fanning, C. M., Frei, D., Howard, J. P., Phillips, R. J., Strogen, D. & Whitham, A. G., 2011- Evidence from detrital zircons for recycling of Mesoproterozoic and Neoproterozoic crust recorded in Paleozoic and Mesozoic sandstones of southern Libya. Earth and Planetary Science Letters 312, 164–175.
- Morton, A. C. & Hallsworth, C. R., 1999- Processes controlling the composition of heavy mineral assemblages in sandstones. Sedimentary Geology 124, 3–29.
- Morton, A. C., Clauoé-Long, J. C. & Berge, C., 1996- SHRIMP constraints on sediment provenance and transport history in the Mesozoic Statfjord Formation, North Sea. Journal of the Geological Society, London, 153, 915–929.
- Nadimi, A., 2007- Evolution of the Central Iranian basement. Gondwana Research 12, 324–333.
- Okeyode, I. C. & Jibiri, N. N., 2012- The heavy mineral analysis of Ogun River sediments. European Journal of Scientific Research 89, 296–305.
- Pettijohn, F., Potter, P. & Siever, R., 1987- Sand and Sandstone. Springer-Verlag, New York, 533 pp.
- Purevjav, N. & Roser, B., 2012- Geochemistry of Devonian–Carboniferous clastic sediments of the Tsetserleg terrane, Hangay Basin, Central Mongolia: Provenance, source weathering, and tectonic setting. Island Arc 21, 270–287.
- Ramezani, J. & Tucker, R., 2003- The Saghnd region, Central Iran: U-Pb geochronology, petrogenesis and implications for Gondwana tectonics. American Journal of Science 303, 622–665.
- Saki, A., 2010- Proto-Tethyan remnants in northwest Iran: Geochemistry of the gneisses and metapelitic rocks. Gondwana Research 17, 704–714.
- Seger, F. E., 1977- Zur geologie Nord-Alamut gebietes (Zentral-Elburz); Eidgenossische technische Hochschule (ETH), Zurich. Thesis No. 6093. 161 pp.
- Sevastjanova, I., Hall, R. & Alderton, D., 2012- A detrital heavy mineral viewpoint on sediment provenance and tropical weathering in SE Asia. Sedimentary Geology 280, 179–194.
- Stöcklin, J., 1968- Structural history and tectonics of Iran: a review. American Association of Petroleum Geologists Bulletin 52, 1229–1258.
- Talbot, C. J. & Alavi, M., 1996- The past of a future syntaxis across the Zagros, in: Alsop, G.I., Blundell, D.J., Davison, I. (Eds.), Salt Tectonics 100. Geological Society of London Special Publication, pp. 89–109.
- Zaid, S. M., 2012- Provenance, diagenesis, tectonic setting and geochemistry of Rudies sandstone (Lower Miocene), Warda Field, Gulf of Suez, Egypt. Journal of African Earth Sciences 66–67, 56–71.

Tectonic Provenance of Kahar Formation (Late Neoproterozoic) Using Modal and Heavy Mineral Analyses in Sandstones, Type Locality, Kahar Mountain, Central Alborz

N. Etemad-Saeed^{1*}, M. Hosseini-Barzi², M. H. Adabi³ & A. Sadeghi⁴

¹ Ph.D. Student, Earth Science Faculty, Shahid Beheshti University, Tehran, Iran

² Assistant Professor, Earth Science Faculty, Shahid Beheshti University, Tehran, Iran

³ Professor, Earth Science Faculty, Shahid Beheshti University, Tehran, Iran

⁴ Associate Professor, Earth Science Faculty, Shahid Beheshti University, Tehran, Iran

Received: 2011 June 26

Accepted: 2012 August 21

Abstract

This work is focused on tectonic provenance of the Late Neoproterozoic Kahar Formation in the northern Iran. Kahar Mountain (type locality) provides valuable information on tectonic events during this time. The Kahar Formation in this area is a well preserved sedimentary sequence and consists of about 1000 meters of predominantly fine grained siliciclastic rocks and minor sandstones, conglomerates and dolomitized stromatolites. Kahar lithic arkose sandstones with low compositional and textural maturity, contain abundant feldspar (plagioclase and K feldspar), quartz, and volcanic lithic fragments and have an average composition of $Q_{38}F_{40}L_{22}$, $Qt_{39}F_{40}L_{21}$, $Qm_{32}F_{40}Lt_{28}$, $Qp_{27}Lvm_{60}Lsm_{13}$ and $Qm_{44}P_{33}K_{23}$ suggesting a proximal source and a dissected arc setting. The type of lithic fragments in the sandstones show andesitic and felsic volcanic rock sources. Heavy mineral analysis (abundant metastable and unstable minerals such as biotite, and pyroxenes) indicate that Kahar sandstones were derived from unroofing of arc-type magmatic rocks. The low diversity of heavy mineral assemblages in the Kahar sandstones indicates that the source rocks were uniform and localized. Considering the two common tectonic views regarding the Late Neoproterozoic condition of Iran (rift-passive margin and magmatic arc-subduction zone), the results of this study which confirm the magmatic arc tectonic setting of Alborz-Iran at that time seems critical.

Keywords: Kahar Formation, Neoproterozoic, Tectonic provenance, Magmatic arc.

For Persian Version see pages 3 to 12

*Corresponding author: N. Etemad-Saeed; E-mail: n_etemad@sbu.ac.ir